

# Aide au choix d'une solution optimale sur un front Pareto à l'aide de méthodes de segmentation.

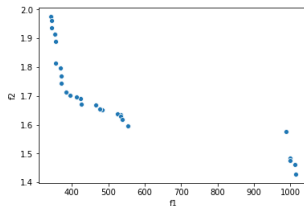
Ilyas RAHHALI

Directeurs : Charles Audet, Jonathan Jalbert

Polytechnique Montréal  
Gerad

Montréal, 9 Juillet 2020

- 1 Introduction
- 2 Problèmes biobjectif et Front Pareto
- 3 Algorithmes de segmentation
- 4 Méthodologie proposée
- 5 Exemple pratique



**Figure 1** – Solutions optimales d'un problème biobjectif

- Choisir une seule solution parmi celles-ci peut être difficile
- On doit vérifier les caractéristiques des solutions une par une

Comment choisir une solution qui vérifie les critères de l'ingénieur ?

# Optimisation biobjectif

## Problème biobjectif [1]

*Un problème biobjectif se formule de la manière suivante :*

$$\min_{x \in \Omega} F(x) = (f_1(x), f_2(x)) \quad (1)$$

## Points dominés [1]

*Soient  $x, y \in \Omega$*

*On dit que  $x$  domine  $y$  si et seulement si  $f_i(x) \leq f_i(y)$  pour  $i \in \{1, 2\}$  avec au moins l'une des inégalités qui doit être stricte*

*On écrit alors  $x \prec y$*

## Points non dominés ou Pareto optimaux [1]

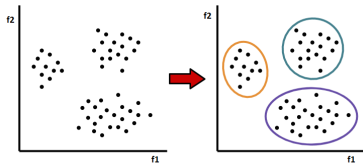
*Soit  $x \in \Omega$*

*$x$  est dit non dominé ou Pareto optimal si et seulement si  $\nexists y \in \Omega$  tel que  $y \prec x$*

# Définition de segmentation

## Apprentissage non supervisé ou segmentation

- Catégorie de l'apprentissage machine qui tente de découvrir une structure latente à la distribution d'un jeu de données
- Permet d'identifier des groupements de points
- Un groupement est un ensemble de points regroupés à partir de certaines similarités



**Figure 2** – Exemple de segmentation [2]

## kmeans [3]

- Présuppose un nombre de groupements prédéfini  $K$
- Algorithme assignant chaque point au centroïde le plus proche itérativement
- Le but est de minimiser la variance au sein de chaque groupement notée  $s$

---

### Algorithme 1 Kmeans

---

- 1: *Trouver un nombre de groupements  $K$*
  - 2: *Initialiser  $K$  centroïdes  $\{c_1, \dots, c_K\}$*
  - 3: **faire**
  - 4:      $s = \sum_{k=1}^K \sum_{i=1}^N (x_i - c_k)^2$
  - 5:     *Assigner chaque point  $x_i$  au centroïde  $c_k$  le plus proche*
  - 6:     *Mettre à jour les centroïdes*
  - 7: **tant que** *Changement de centroïdes*
-

## Meanshift [4]

- Aussi appelé algorithme de recherche de mode.
- Considère l'espace de paramètres comme une fonction de densité de probabilité dont les points qui lui sont fournis sont considérés comme échantillons.
- Considère que s'il existe des groupements dans les données, ils correspondent aux modes ou maxima locaux de cette fonction de densité.
- Pas besoin de spécifier un nombre de groupements à l'avance.
- Retourne un groupement pour chaque mode trouvé.

---

## Algorithme 2 Meanshift

---

- 1: *Sélectionner une fenêtre  $F$*
  - 2: **pour** chaque point  $p$  du jeu de données **faire**
  - 3:     **tant que** pas encore convergé **faire**
  - 4:         *Calculer la moyenne des points dans une fenêtre  $F$  autour du point  $p$*
  - 5:         *Déplacer la fenêtre  $F$  pour la centrer sur la nouvelle moyenne*
  - 6:     **fin tant que**
  - 7: **fin pour**
-

## HDBscan [5]

- Extension de l'algorithme par densité DBscan
- Fait peu d'hypothèses sur la structure des données
- Plutôt que de chercher des groupements d'une certaine forme, il cherche les régions denses de l'espace
- Excellent pour les données bruitées
- Très sensible à ses hyperparamètres

---

### Algorithme 3 HDBscan

---

- 1: *Transformer l'espace suivant la densité*
  - 2: *Construire un arbre couvrant minimal à partir du graphe pondéré*
  - 3: *Construire une hiérarchie de segmentation à partir des composants connectés*
  - 4: *Condenser cette hiérarchie en se basant sur la taille de groupement minimale*
  - 5: *Extraire les groupements stables de l'arbre condensé*
-

## Algorithme spectral [6]

- Algorithme n'utilisant pas de mesure de distance mais plutôt la matrice de similarité lui octroyant une robustesse en haute dimension
- Se base sur les valeurs propres de la matrice de similarité pour réduire la dimensionnalité des données avant de performer la segmentation

---

## Algorithme 4 Segmentation spectrale [7]

---

- 1: *Construire le graphe de similarité. Soit  $W$  sa matrice d'adjascence pondérée*
  - 2: *Calculer le laplacien normalisé  $L$*
  - 3: *Calculer les  $k$  premier vecteurs propres  $u_1, \dots, u_k$  de  $L$  ( $k$  étant le nombre de groupements)*
  - 4: *Construire la matrice  $T$  à partir des  $u_i$  comme colonnes puis normaliser ses lignes suivant la norme 1*
  - 5: *Effectuer une segmentation par  $k$ means sur les lignes de la matrice  $T$*
-

## Démarche suivie

- Génération et préparation des données
- Choix d'un algorithme de segmentation
- Présentation des groupements et leurs caractéristiques
- Choix de représentant par groupement

## Génération et préparation des données

- Récupérer la cache de l'algorithme d'optimisation biobjectif
- Normaliser les données
- Extraire les points non dominés dans un ensemble noté  $P$
- Étendre  $P$  en y ajoutant les points à un certain rayon  $r$  de chacun des points dans l'espace  $(f_1, f_2)$

## Génération et préparation des données

Soit  $C$  la cache du problème biobjectif définie comme suit :

$$C = \{(x, f(x), c(x)) \in \mathbf{R}^n \times \mathbf{R}^2 \times \mathbf{R}^m : x \in \{x^1, x^2, \dots, x^p\}\}$$

où  $x^1, \dots, x^p$  sont les points visités par l'algorithme.

---

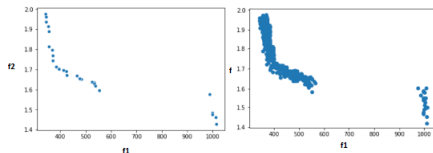
### Algorithme 5 Extraction des points non dominés

---

Entrée: *cache* :  $C$

```
1: fonction EXTRACTPARETO
2:    $P = \emptyset \leftarrow$  Front Pareto
3:   pour  $x \in C$  faire
4:     si  $x$  est non dominé dans  $C$  et  $x \in \Omega$  alors
5:        $P \leftarrow P \cup \{x\}$ 
6:     fin si
7:   fin pour
8:   retourne  $P$ 
9: fin fonction
```

---



**Figure 3** – Relaxation du Front Pareto

---

## Algorithme 6 Relaxation du front Pareto

---

Entrée: cache  $C$ , pareto  $P$ , rayon  $r$

```
1: fonction RELAXPARETO
2:    $R = \emptyset \leftarrow$  front relâché
3:   pour  $x$  dans  $P$  faire
4:     pour  $y$  dans  $C \setminus \{x\}$  faire
5:       si  $y \in B_r(F(x))$  alors
6:          $R \leftarrow R \cup \{y\}$ 
7:       fin si
8:     fin pour
9:   fin pour
10:  retourne  $R$ 
11: fin fonction
```

## Choix d'un algorithme de segmentation

- Comparer la performance des 4 algorithmes de segmentation présentés précédemment
- En choisir un qui a de bonnes performances bien dans un cadre général
- Vérifier sur un problème réel

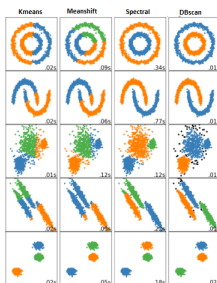
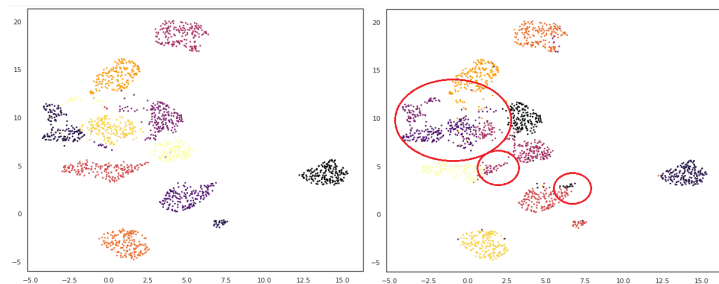


Figure 4 – Comparaison des 4 algos [8]

Voici un exemple pour illustrer pourquoi Kmeans risque d'avoir de mauvaises performances en hautes dimensions.



**Figure 5** – Mauvau résultats par Kmeans

## Choix d'un représentant par groupement

Deux méthodes sont proposées, l'utilisateur pourra choisir selon ses besoins

- Choix du point Pareto le plus proche du centroïde de chaque groupement

---

### Algorithme 7 choix de représentant

---

**Entrée:** Ensemble de groupements :  $G = \{G_k\}, k \in \{1..p\}$

1: **fonction** HEURISTIQUE 1

2:     **pour**  $G_k \in G$  **faire**

3:          $c_k = \left( \frac{1}{|G_k|} \sum_{x \in G_k} f_1(x), \frac{1}{|G_k|} \sum_{x \in G_k} f_2(x) \right)$  dans l'espace  $(f_1, f_2)$

4:         Choisir  $x_{repr_k} = \min_{x \in P} d(x - c_k)$

5:     **fin pour**

6: **fin fonction**

---

- Construire une fonction de coût à partir des critères de l'utilisateur qui sera utilisée pour trier ces points, ou effectuer une optimisation mono-objectif dessus

### Définition du problème

On souhaite synthétiser un fluide caloporteur de température de fusion et d'activité de solution solides minimaux à partir de huit sels. Ce problème peut donc être reformulé sous forme de problème d'optimisation comme suit :

$$\min_{x \in \Omega} F(x) = (f_1(x), f_2(x))$$

$$\text{avec } F : \mathbf{R}^8 \longrightarrow \mathbf{R}^2 \text{ et } x \in \Omega \subseteq \mathbf{R}^8$$

# Exemple pratique

Lecture des données :

	LiCl	NaCl	KCl	CaCl_2	MgCl_2	MnCl_2	NiCl_2	CoCl_2	f1	f2
0	33.0	54.0	66.0	49.0	6.0	28.0	9.0	66.0	413.2337	1.111307
1	90.0	85.0	81.0	54.0	93.0	66.0	100.0	16.0	564.5982	0.880445
2	15.0	39.0	51.0	21.0	54.0	61.0	91.0	18.0	658.5661	0.808576
3	66.0	24.0	83.0	35.0	70.0	30.0	19.0	91.0	472.5585	1.086090
4	23.0	20.0	54.0	77.0	65.0	77.0	47.0	57.0	615.7641	0.845349

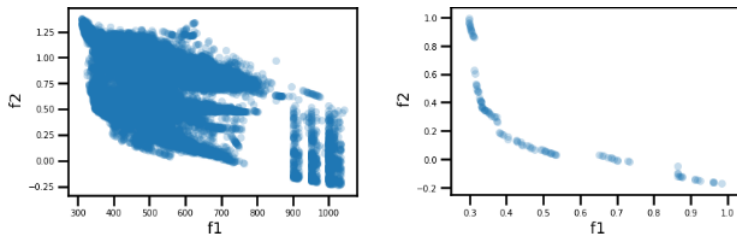
**Figure 6** – Aperçu des variables du problème produit par BIMADS

Normalisation des données :

	x1	x2	x3	x4	x5	x6	x7	x8	f1	f2
0	0.106109	0.173633	0.212219	0.157556	0.019293	0.090032	0.028939	0.212219	0.396616	0.806089
1	0.153846	0.145299	0.138462	0.092308	0.158974	0.112821	0.170940	0.027350	0.541894	0.638632
2	0.042857	0.111429	0.145714	0.060000	0.154286	0.174286	0.260000	0.051429	0.632083	0.586502
3	0.157895	0.057416	0.198565	0.083732	0.167464	0.071770	0.045455	0.217703	0.453555	0.787798
4	0.054762	0.047619	0.128571	0.183333	0.154762	0.183333	0.111905	0.135714	0.591002	0.613176

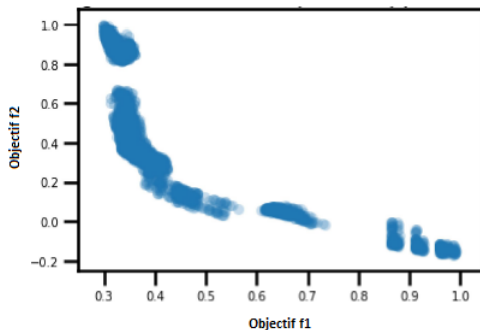
**Figure 7** – Normalisation des données

Distribution des solutions et extraction des points Pareto



**Figure 8** – Solutions dans l'espace  $(f_1, f_2)$  (*gauche*), Points Pareto normalisés (*droite*)

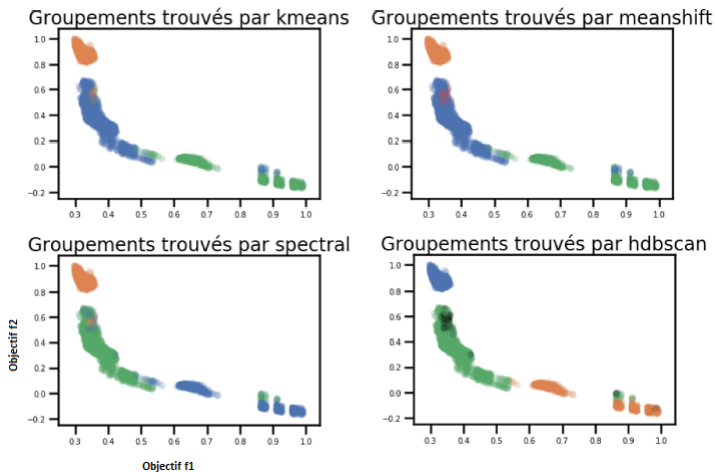
Relaxation du front Pareto :



**Figure 9** – Points approximés autour des points non dominés

# Exemple pratique

Application des algorithmes de segmentation :



**Figure 10** – Groupements trouvés par chaque algorithme

## Informations sur les groupements des groupements :

La distribution des Xi pour la classe 1 est :

	x1	x2	x3	x4	x5	x6	x7	x8
count	662.000000	662.000000	662.000000	662.000000	662.000000	662.000000	662.000000	662.000000
mean	0.102260	0.003901	0.792250	0.014973	0.011571	0.031722	0.029404	0.013917
std	0.035357	0.009242	0.068488	0.028516	0.015871	0.033431	0.029988	0.037031
min	0.017544	0.000000	0.503448	0.000000	0.000000	0.000000	0.000000	0.000000
25%	0.081538	0.000000	0.777778	0.000000	0.000000	0.000000	0.000000	0.000000
50%	0.097561	0.000000	0.806452	0.000000	0.000000	0.024096	0.023529	0.000000
75%	0.114754	0.000000	0.830932	0.016598	0.016227	0.046110	0.046875	0.015385
max	0.268293	0.081633	0.925000	0.280899	0.087719	0.265957	0.202703	0.347518

La distribution des Xi pour la classe 2 est :

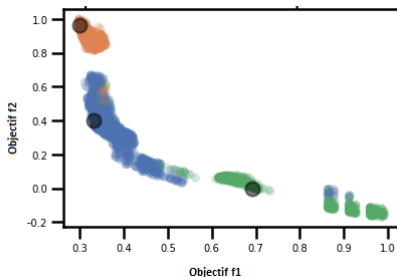
	x1	x2	x3	x4	x5	x6	x7	x8
count	899.000000	899.000000	899.000000	899.000000	899.000000	899.000000	899.000000	899.000000
mean	0.036920	0.190741	0.189605	0.109073	0.089589	0.161444	0.001913	0.220715
std	0.020052	0.029444	0.049380	0.053933	0.028608	0.042488	0.002709	0.057699
min	0.000000	0.030928	0.086817	0.000000	0.000000	0.016713	0.000000	0.020305
25%	0.024096	0.189024	0.168496	0.056131	0.079832	0.122899	0.000000	0.199203
50%	0.036403	0.196464	0.177515	0.103030	0.088710	0.174419	0.000000	0.206612
75%	0.043668	0.202492	0.202052	0.152720	0.105051	0.192308	0.002941	0.275135
max	0.170103	0.260450	0.500000	0.283828	0.219178	0.365546	0.024064	0.406504

La distribution des Xi pour la classe 3 est :

	x1	x2	x3	x4	x5	x6	x7	x8
count	1181.000000	1181.000000	1181.000000	1181.000000	1181.000000	1181.000000	1181.000000	1181.000000
mean	0.414739	0.048527	0.479904	0.006008	0.011523	0.028545	0.004088	0.006666
std	0.111601	0.039562	0.068510	0.014327	0.018476	0.038971	0.007400	0.015046
min	0.213592	0.000000	0.180451	0.000000	0.000000	0.000000	0.000000	0.000000
25%	0.344156	0.005348	0.458333	0.000000	0.000000	0.000000	0.000000	0.000000
50%	0.377483	0.053892	0.492611	0.000000	0.005714	0.014815	0.000000	0.000000
75%	0.492857	0.081633	0.520710	0.006494	0.016043	0.033898	0.005988	0.006757
max	0.800000	0.176471	0.644444	0.135338	0.120690	0.191919	0.045977	0.205021

Figure 11 – Statistiques des groupements

Sélection d'un représentant par groupement par la première heuristique :



**Figure 12** – Représentants par groupement par l'heuristique 1

## Exemple pratique

Pour la deuxième heuristique, on définit le coût d'une solution comme suit :

pour  $x \in \Omega$

$$C(x) = \frac{\sum p_i * x_i}{\sum p_i}$$

avec  $p_i$  : le prix du sel  $i$

Pour les prix du sel, on considère les valeurs suivantes en \$/kg :

$x_1$	$x_2$	$x_3$	$x_4$	$x_5$	$x_6$	$x_7$	$x_8$
2745	32.25	105.6	51.9	112.95	157.05	861	2692.5

## Exemple pratique

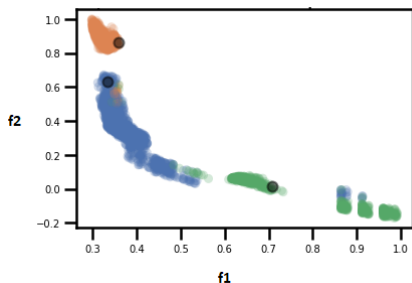
Après calcul des coûts des solutions on obtient l'aperçu suivant des solutions les moins coûteuses pour chaque classe :

	x1	x2	x3	x4	x5	x6	x7	x8	f1	f2	Coût	labels
550	0.152174	0.054348	0.532609	0.141304	0.000000	0.108696	0.010870	0.000000	0.334740	0.634193	0.075386	0
519	0.159091	0.045455	0.534091	0.125000	0.000000	0.125000	0.011364	0.000000	0.328234	0.641776	0.078493	0
706	0.164835	0.054945	0.538462	0.120879	0.000000	0.120879	0.000000	0.000000	0.348575	0.569744	0.079364	0
511	0.170455	0.045455	0.545455	0.125000	0.000000	0.113636	0.000000	0.000000	0.350997	0.560320	0.081574	0
330	0.170455	0.045455	0.534091	0.125000	0.000000	0.125000	0.000000	0.000000	0.327724	0.648465	0.081661	0
9	0.006042	0.178248	0.163142	0.235650	0.151057	0.229607	0.012085	0.024169	0.358238	0.861207	0.026693	1
2733	0.022843	0.157360	0.182741	0.230964	0.177665	0.197970	0.010152	0.020305	0.352394	0.872306	0.031611	1
319	0.000000	0.218341	0.218341	0.218341	0.072052	0.218341	0.000000	0.054585	0.349576	0.890067	0.034155	1
1665	0.000000	0.218818	0.218818	0.218818	0.070022	0.218818	0.000000	0.054705	0.349716	0.906245	0.034193	1
1141	0.000000	0.219780	0.219780	0.219780	0.065934	0.219780	0.000000	0.054945	0.349995	0.899537	0.034270	1
2445	0.037500	0.000000	0.925000	0.000000	0.012500	0.025000	0.000000	0.000000	0.706872	0.016649	0.030475	2
968	0.017544	0.000000	0.842105	0.000000	0.052632	0.000000	0.087719	0.000000	0.686435	0.061866	0.032339	2
409	0.033898	0.000000	0.864407	0.016949	0.033898	0.016949	0.033898	0.000000	0.918039	-0.107324	0.032684	2
2455	0.037037	0.000000	0.876543	0.000000	0.049383	0.000000	0.037037	0.000000	0.691357	0.042695	0.034283	2
2702	0.048387	0.000000	0.887097	0.000000	0.000000	0.064516	0.000000	0.000000	0.690095	0.023490	0.035014	2

Figure 13 – Tableau des solutions triées par coût

## Exemple pratique

En utilisant cette deuxième heuristique pour sélectionner les points le point le moins coûteux pour chaque classe, on obtient le résultat suivant :



**Figure 14** – Représentants par groupement par l'heuristique 2

Merci pour votre attention, des questions ?

# References I



C.Audet and W. Hare (2017)  
Biobjective Optimization  
Derivative-free and blackbox optimization  
*Springer*, pp247–262.



Stanford university  
<https://thedishonscience.stanford.edu/posts/clustering-breast-cancer-data/images/unsupervised-learning-example.png>



MacKay David (2003)  
Chapter 20. An Example Inference Task : Clustering  
Information theory, inference and learning algorithms  
*Cambridge university press*, pp284–292.



K. Fukunaga, L. Hostetler (1975)  
The Estimation of the Gradient of a Density Function, with Applications in Pattern Recognition  
*IEEE Transactions on Information Theory* vol 21 no. 1 pp32–40



Campello R.J.G.B., Moulavi D., Sander J. (2013)  
Density-Based Clustering Based on Hierarchical Density Estimates.  
*Advances in Knowledge Discovery and Data Mining*.



Ng, Andrew Y and Jordan, Michael I and Weiss, Yair (2002).

On spectral clustering : analysis and an algorithm  
Advances in Neural Information Processing Systems.



Ulrike von Luxburg (2007).

A Tutorial on Spectral Clustering  
Springler, Statistics and Computing, 17 (4), 2007



Sklearn library

*<https://scikit-learn.org/stable/modules/clustering.html>*